



гов мы пришли к заключению, что этацизин и этазин, будучи эффективами, в то же время глубоко влияют на силу в биоптатах патологического миокарда.

Были изучены коэффициенты корреляции между коэффициентом силы действия и коэффициентом силы действия этацизина. Установлено, что этацизин не оказывает влияния на коэффициент силы действия, но способен изменять коэффициент силы действия в биоптатах миокарда. Установлено, что этацизин не оказывает влияния на коэффициент силы действия в биоптатах миокарда.

Инотропный эффект дисперсии ритма у больных с хронической сердечной недостаточностью и аритмиями.

Инотропный эффект дисперсии ритма у больных с хронической сердечной недостаточностью и аритмиями.

Инотропный эффект дисперсии ритма у больных с хронической сердечной недостаточностью и аритмиями.

Инотропный эффект дисперсии ритма у больных с хронической сердечной недостаточностью и аритмиями.

Инотропный эффект дисперсии ритма у больных с хронической сердечной недостаточностью и аритмиями.

Инотропный эффект дисперсии ритма у больных с хронической сердечной недостаточностью и аритмиями.

Инотропный эффект дисперсии ритма у больных с хронической сердечной недостаточностью и аритмиями.

Инотропный эффект дисперсии ритма у больных с хронической сердечной недостаточностью и аритмиями.

Инотропный эффект дисперсии ритма у больных с хронической сердечной недостаточностью и аритмиями.

Инотропный эффект дисперсии ритма у больных с хронической сердечной недостаточностью и аритмиями.

Поступила 25.12.86

УДК 615.361.12.014.417

Оценка функционального состояния сердечного трансплантата после 20—24 ч биологической консервации

Э. Ф. Баринов

Известно, что основы недостаточности сердечного трансплантата заложиваются при консервации, но гемодинамические показатели, свидетельствующие о ее развитии, могут появиться лишь в ранний период после пересадки [16]. Использование для защиты донорского сердца биологической консервации позволяет во время аутоперфузии сердечно-легочного препарата (СЛП) анализировать функциональное состояние трансплантата, а в случае необходимости корректировать метаболические нарушения миокарда. Несмотря на то что число публикаций, посвященных данному методу консервации, значительно возросло, большинство из них не представило убедительных доказательств надежности длительной защиты сердечного трансплантата. Между тем выявить скрытую недостаточность консервированного трансплантата позволяют нагрузочные пробы. Для этой цели используют пробы с изменением пред- и постнагрузки желудочков сердца [7]. К сожалению, многие вопросы практического применения функциональной пробы и трактовки ее результатов не решены. Существуют, например, разногласия в необходимости изучения максимальной функциональной способности сердечного трансплантата, в вопросе о безопасности проведения нагрузочной пробы, определении ее длительности и оценке реакции желудочка в ответ на нее.

В настоящем сообщении представлена попытка разработать безопасную методику проведения регулярно повторяющихся проб с дозированной нагрузкой на желудочки во время аутоперфузии СЛП и изучить динамику скрытой сердечной недостаточности при биологической консервации.

Методика

Выполнено 18 экспериментов на беспородных собаках массой 6—13 кг. Животным за 15—20 мин до операции внутривенно вводили фентанил (0,025 мг/кг) и непосредственно перед торакотомией оксибутират натрия (100 мг/кг). Анестезию поддерживали кислородом с кислородом (3:1) и при необходимости дробно вводили фентанил. Консервацию проводили с учетом рекомендаций, составленных по результатам анализа причин возникновения сердечной и легочной недостаточности при аутоперфузии «перевивающего» СЛП [1]: использовали физиологически адекватную модель СЛП собственной конструкции (рисунок), отличающуюся от описанных ранее в литературе [9]; управляли функцией изолированного сердца по критерию оптимальности [14]; обеспечивали эффективный газообмен в изолированных легких с помощью оптимальных параметров транспульмонального давления вентиляции и должного уровня pCO_2 в циркулирующей крови [13]; восстанавливали нейроэндокринный контроль над метаболическими процессами и контракtilностью миокарда электрической стимуляцией экстракардиальных нервов и подключением к препарату надпочечников [12]; поддерживали водно-электролитный и кислотно-щелочной баланс подключением к препарату изолированных почек [15]; обеспечивали нормализацию объема интерстициальной жидкости консервируемых органов сохранением лимфооттока в СЛП [10].

В наших экспериментах получила подтверждение концепция [6] о необходимости определения максимальной функциональной способности сердца для выявления скрытой сердечной недостаточности. В связи с этим возникла проблема безопасности проведения нагрузочной пробы на изолированном сердце. Поскольку важную роль в реализации срочной адаптации сердца к большой нагрузке играют катехоламины, то представлялось целесообразным сочетать ее проведение с введением норадреналина.

Для этой цели наиболее оправданным оказалось применение электростимуляции звездчатого ганглия, выделенного вместе с СЛП [11].

Чтобы зарегистрировать максимальную функциональную способность левого желудочка, достаточно было создать в аорте давление порядка 135—140 мм рт. ст. (18,0—18,6 кПа). Для этого к дуге аорты подключали резервуар с кровью, установленный на высоте 184—190 см над уровнем левого предсердия. Момент удаления захима с трубки, соединяющей резервуар с аортой, соответствовал началу постнагрузки. Предварительные исследования показали, что при избранной постнагрузке потребление кислорода миокардом достигает максимума и стабилизируется на этом уровне несмотря на ее дальнейшее повышение. Нагрузочную пробу правого желудочка осу-

ществляли увеличением венозного притока крови к сердцу (т. е. преднагрузки), для чего освобождали зажим на специальном аортовенозном шунте искусственного большого круга. Определение максимальной преднагрузки правого желудочка, выполненное в трех экспериментах после того, как было подтверждено наличие скрытой недостаточности левого желудочка, показало, что венозный приток должен быть увеличен в 1,5—2 раза по сравнению с исходным, т. е. составлять примерно 450—500 мл·мин⁻¹·кг⁻¹. При определении продолжительности нагрузочной пробы мы ис-

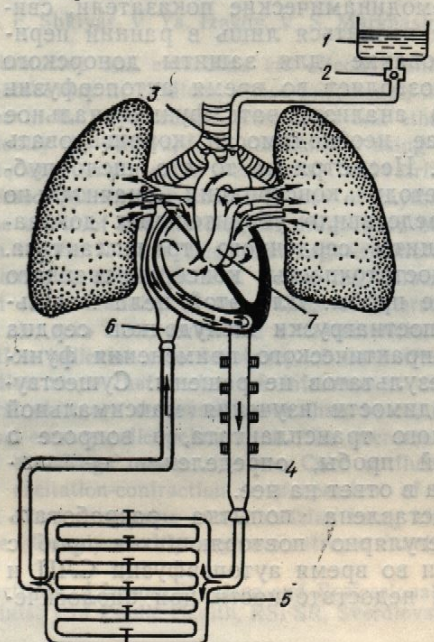


Схема модели сердечно-легочного препарата:

1 — резервуар, стабилизирующий в препарате объем циркулирующей крови; 2 — трубка с клапаном; 3 — катетер в левой подключичной артерии; 4 — аорта с «arterиальной» магистралью искусственного большого круга; 5 — регулируемое сопротивление; 6 — задняя полая вена с фиксированной в ней «венозной» магистралью; 7 — общий ствол легочной артерии.

ходили из того, что кривая регистрируемого показателя должна выйти на плато (т. е. показатель не должен изменяться при сохранении нагрузки). Анализ кривых внутрижелудочкового давления, которые регистрировали непрерывно во время нагрузочных проб различной продолжительности, подтвердил статистически значимую досто-

Изменение показателей кардиогемодинамики в ответ на функциональную пробу с н

| Время консервации, ч | Период регистрации | Левый желудочек | | | | Правый желудочек | | |
|----------------------|--------------------|-----------------|-------------|----------------|----------------|------------------|-------------|----------------|
| | | p_c | КДД | $+dp/dt_{max}$ | $-dp/dt_{min}$ | p_c | КДД | $+dp/dt_{max}$ |
| | | кПа | | кПа/с | кПа | кПа | | кПа/с |
| 4—5 | A | 14,0±0,2 | 0,989±0,013 | 134,7±6,9 | 166,4±2 | 997±0,027 | 0,159±0,013 | 2,18 |
| | B | 22,3±0,1 | 1,21±0,027 | 212,0±7,2 | 279,9±3 | 543±0,040 | 0,306±0,013 | 3,67 |
| 8—9 | A | 14,0±0,1 | 0,99±0,027 | 149,1±8,2 | 164,3±3 | 997±0,027 | 0,159±0,013 | 2,19 |
| | B | 22,6±0,2 | 1,29±0,027 | 220,5±5,9 | 276,5±4 | 1,53±0,040 | 0,319±0,027 | 3,64 |
| 12—13 | A | 14,1±0,3 | 0,992±0,027 | 146,7±5,9 | 167,7±3 | 1,01±0,027 | 0,15±0,013 | 2,18 |
| | B | 22,1±0,2 | 1,31±0,027 | 217,9±8,4 | 276,0±4 | 1,50±0,040 | 0,31±0,027 | 3,65 |
| 16—17 | A | 14,5±0,3 | 1,011±0,027 | 136,7±3,5 | 171,3±3 | 1,02±0,027 | 0,25±0,013 | 2,19 |
| | B | 21,8±0,2 | 1,107±0,027 | 168,8±5,3 | 199,5±1 | 1,39±0,027 | 0,45±0,013 | 2,93 |
| 20—21 | A | 14,6±0,3 | 1,037±0,013 | 138,7±6,9 | 165,7±3 | 1,02±0,027 | 0,29±0,040 | 2,16 |
| | B | 20,2±0,2 | 1,902±0,040 | 125,0±3,3* | 164,7±4 | 1,13±0,027 | 0,53±0,027 | 1,96 |

Примечание: А — показатели в покое, Б — при нагрузке; * различия статистически

верность steady state со-
20 с после начала нагрузки
тельности выполняемых пре-
регистрировали функциона-
вующий уровень пред- или

Пробы с функционализацией, при этом максимальный нами принцип идент исследование и проводить острой сердечной недостатком исследования трансплантации.

Эксперименты были выполнены функционально-зочных пробами проводили пробами проводили без элек-

Давление в полостях электроманометром ЕМ 2 тывали следующие показания: систолическое и диастолическое давление (КДД)ния внутрижелудочкового ромагнитным флюметром ный приток по полой вене ропарный кровоток (КК), оксигемометре О-57М. Падом (PO_2), рассчитывали ления (КВ) рассчитывали нагрузки и восстановлени

Результаты и их обсу

Длительность аупопе-
функциональное состо-
что в течение опреде-
руемых показателей
Общую тенденцию и-
ции, а статистически
значениями происход-
гистрировали (типич-
с описанной в литера-

Средняя продоль

и желудочков

Правый желудок

сь применение электростимуляции звезды].
функциональную способность левого желудочка порядка 135—140 мм рт. ст. отключали резервуар с кровью, установленный предсердия. Момент удаления задней, соответствовал началу постнагрузки, что при избранной постнагрузке потребного и стабилизируется на этом уровне узочную пробу правого желудочка осуществляли увеличением венозного притока крови к сердцу (т. е. преднагрузки), для освобождения зажим на специальном кровеносном шунте искусственного большого круга. Определение максимальной нагрузки правого желудочка, выполненное в трех экспериментах после того, было подтверждено наличие скрытой остаточности левого желудочка, показано, что венозный приток должен быть увеличен в 1,5—2 раза по сравнению с исходным, т. е. составлять примерно 450—500 мл·мин⁻¹·кг⁻¹. При определении продолжительности нагрузочной пробы мы ис-

мели модели сердечно-легочного препара-

резервуар, стабилизирующий в препарате циркулирующей кровь; 2 — трубка с клапаном; 3 — катетер в левой подключичной артерии; аорта с «arterиальной» магистралью искусственного большого круга; 5 — регулируемое сопротивление; 6 — задняя полая вена с фиксированной «венозной» магистралью; 7 — общий ствол легочной артерии.

показателя должна выйти на плато (при сохранении нагрузки). Анализ кривых проводили непрерывно во время нагрузки и подтвердил статистически значимую достоверность

в ответ на функциональную пробу на

верность steady state основных показателей контракtilности и расслабления через 20 с после начала нагрузки. Этот интервал времени был положен в основу продолжительности выполняемых проб. Во время пробы с нагрузкой и в течение 5 мин после нее регистрировали функциональные показатели сердца. Затем восстанавливали предшествующий уровень пред- или постнагрузки желудочка.

Пробы с функциональной нагрузкой повторяли несколько раз во время консервации, при этом максимальная нагрузка желудочка оставалась неизменной. Используемый нами принцип идентичности нагрузки позволяет максимально стандартизировать исследование и проводить его в щадящем режиме, не увеличивая нагрузку до развития острой сердечной недостаточности, что особенно важно при длительном функциональном исследовании трансплантата.

Эксперименты были разбиты на 3 группы: 1-я (9 опытов) — при консервации не выполняли функциональных проб с нагрузкой желудочек; 2-я (6 опытов) — нагрузочные пробы проводили через каждые 4 ч; 3-я (3 опыта) — в отличие от 2-й группы пробы проводили без электрической стимуляции звездчатого ганглия.

Давление в полостях сердца, дуге аорты и легочной артерии регистрировали электроманометром ЕМ 2-01 (Венгрия) с записью на «Элкар». Определяли и рассчитывали следующие показатели гемодинамики: частоту сердечных сокращений (ЧСС), систолическое и диастолическое давление в аорте, систолическое (p_c) и конечно-диастолическое давление (КДД) в желудочках, максимальную скорость повышения и падения внутрижелудочкового давления ($+dp/dt_{max}$ и $-dp/dt_{max}$ соответственно). Электромагнитным флюзметром (РКЭ-2БИ) определяли сердечный выброс (СВ) и венозный приток по полой вене к сердцу. По разности полученных значений вычисляли коронарный кровоток (КК). Изменение насыщения гемоглобина кислородом измеряли на оксиметре О-57М. По формуле Фика вычисляли потребление кислорода миокардом ($\dot{V}O_2$), рассчитывали дефицит энергии (ДЭ) сердца [3]. Коэффициент восстановления (КВ) рассчитывали как отношение потребления кислорода миокардом в период нагрузки и восстановления [5].

Результаты и их обсуждение

Длительность аутоперфузии в 1-й группе достигала 24 ч. Оценивая функциональное состояние сердечного трансплантата, можно сказать, что в течение определенного периода (17—20 ч) отклонения регистрируемых показателей носили случайный несистематический характер. Общую тенденцию их к снижению отмечали через 21—23 ч консервации, а статистически значимое уменьшение по сравнению с исходными значениями происходило за 12—65 мин до остановки сердца, т. е. регистрировали (типичную) динамику, совпадающую по направленности с описанной в литературе [9].

Средняя продолжительность аутоперфузии СЛП во 2-й группе при

желудочек

| Левый желудочек | | Правый желудочек | | | | СВ, мл/мин | КВ — | ДЭ, кг·мин ⁻¹ × 100 г |
|--------------------------------|-----------------------------|----------------------------|--------------------------------|--------------------------------|-------------------------------|-------------------------------|-----------------------------|----------------------------------|
| КДД | $+dp/dt_{max}$ | КДД | $+dp/dt_{max}$ | $-dp/dt_{max}$ | | | | |
| | кПа | | кПа | кПа/с | | | | |
| 0,989 ± 0,013 1,21 ± 0,027 | 134,7 ± 6,9 212,0 ± 7,2 | 166,4 ± 2,1 279,9 ± 3,3 | 0,997 ± 0,027 1,543 ± 0,040 | 0,159 ± 0,013 0,306 ± 0,013 | 2,18 ± 0,040 3,67 ± 0,120 | 1,09 ± 0,027 1,78 ± 0,027 | 249,0 ± 8,4 350,0 ± 8,8 | 1,80 ± 0,02 —1,71 ± 0,09 |
| 0,99 ± 0,027 1,29 ± 0,027 | 149,1 ± 8,2 220,5 ± 5,9 | 164,3 ± 3,1 276,5 ± 4,1 | 0,997 ± 0,027 1,53 ± 0,040 | 0,159 ± 0,013 0,319 ± 0,027 | 2,19 ± 0,053 3,64 ± 0,013 | 1,09 ± 0,013 1,80 ± 0,053 | 251,0 ± 5,9 351,0 ± 6,0 | 1,84 ± 0,02 —1,84 ± 0,07 |
| 0,992 ± 0,027 1,31 ± 0,027 | 146,7 ± 5,9 217,9 ± 8,4 | 167,7 ± 3,1 276,0 ± 4,4 | 1,01 ± 0,027 1,50 ± 0,040 | 0,15 ± 0,013 0,31 ± 0,027 | 2,18 ± 0,053 3,63 ± 0,13 | 1,06 ± 0,013 1,78 ± 0,040 | 254,7 ± 8,9 357,0 ± 7,3 | 2,35 ± 0,02 —3,32 ± 0,11 |
| 1,011 ± 0,027 1,107 ± 0,027 | 136,7 ± 3,5 168,8 ± 5,3 | 171,3 ± 3,1 199,5 ± 1,1 | 1,02 ± 0,027 1,39 ± 0,027 | 0,25 ± 0,013 0,45 ± 0,013 | 2,19 ± 0,027 2,93 ± 0,053 | 1,10 ± 0,013 1,25 ± 0,027 | 255,3 ± 6,3 356,01 ± 5,8 | 2,61 ± 0,03 —3,90 ± 0,08 |
| 1,037 ± 0,013 1,902 ± 0,040 | 138,7 ± 6,9 125,0 ± 3,3* | 165,7 ± 3,1 164,7 ± 4,1 | 1,02 ± 0,027 1,13 ± 0,027 | 0,29 ± 0,040 0,53 ± 0,027 | 2,16 ± 0,053 1,99 ± 0,053* | 1,09 ± 0,027 1,14 ± 0,027* | 248,3 ± 8,6 350,0 ± 9,0 | 2,73 ± 0,04 —4,63 ± 0,09 |

* при нагрузке; * различия статисти-

чески недостоверны по отношению к показателям в покое, в остальных случаях $P < 0,05$.

выполнении пяти нагрузочных проб составляла $(22,6 \pm 0,5)$ ч. Для сравнения укажем, что в 3-й группе при проведении трех стандартных проб с увеличением постнагрузки левого желудочка, но без стимуляции звездчатого ганглия, длительность биологической консервации не превышала 17 ч.

Показатели сократительной способности и расслабления миокарда, регистрируемые в «покое» во 2-й группе, практически не отличались от таковых в 1-й. При проведении функциональной пробы с нагрузкой левого и правого желудочков выявлено четыре основных типа реакции (таблица). При первом типе реакции, регистрируемой через 4—5 и 8—9 ч консервации, коэффициент восстановления составлял $1,80-1,84$. При увеличении постнагрузки левого желудочка систолическое и конечно-диастолическое давление возрастали на $(60,5 \pm 1,0)$ и $(26,0 \pm 3,0)$ % соответственно, увеличение показателей $+dp/dt_{max}$ и $-dp/dt_{max}$ достигало соответственно (153 ± 5) и (168 ± 1) % по сравнению с их значениями до нагрузки. Увеличение преднагрузки правого желудочка сопровождалось повышением КДД в 2,7 раза. Наиболее выраженное влияние нагрузка оказывала на показатели $+dp/dt_{max}$ и $-dp/dt_{max}$, которые к концу пробы возрастали на 67 ± 1 и $(64,0 \pm 0,6)$ % соответственно.

Второй тип гемодинамической реакции, наблюдаемый через 12—13 ч консервации, характеризовался увеличением дефицита энергии и КВ на 94,1 и 30,5 % соответственно по сравнению с первым типом; остальные функциональные показатели изменялись аналогично. Известно, что повышение КВ отражает увеличение продолжительности восстановительного периода после нагрузки и соответственно снижение мощности компенсаторных механизмов сердца [5]. Наблюданное после стандартной нагрузки увеличение данного показателя по сравнению с должным, рассчитанным на 4—5 ч, при сохранении характера изменений остальных функциональных показателей, по-видимому, свидетельствует о начинающемся снижении мощности систем энергообеспечения. Приведенные факты позволяют рассматривать второй тип гемодинамической реакции как проявление I стадии скрытой сердечной недостаточности. Что касается первого типа гемодинамической реакции сердца, то наблюдаемый параллельный рост показателей контракtilности и расслабления миокарда, при отсутствии тенденции к нарастанию КВ, свидетельствует о нормальной (адекватной) реакции желудочка в ответ на повышение пред- и постнагрузки.

Третий тип гемодинамической реакции, который регистрировали через 16—17 ч консервации, отличался дальнейшим повышением дефицита энергии и коэффициента восстановления, а также снижением (по сравнению с первым типом гемодинамической реакции) прироста показателей, характеризующих сокращение и, особенно, расслабление сердца в ответ на стандартную нагрузочную пробу. Так, при увеличении постнагрузки левого желудочка показатель $+dp/dt_{max}$ возрастал на 23,4 %, а $-dp/dt_{max}$ — на 16,4 %. Аналогично изменились эти показатели и при увеличении преднагрузки правого желудочка на 33,3 и 13,2 % соответственно. Обращает на себя внимание, что в условиях стандартной нагрузки правого желудочка (т. е. при одном и том же объеме притекающей крови) его конечно-диастолическое давление повышалось больше, чем в начале консервации, что указывает на снижение растяжимости миокарда желудочка. Факт преимущественного нарушения расслабления (по сравнению с сокращением) или даже изолированного замедления расслабления, без изменения насосной функции сердца, при его скрытой недостаточности установлен в экспериментальных и клинических условиях и детально проанализирован в недавно вышедшем обзоре [2]. Причиной этого считается большая чувствительность процесса расслабления к нарушению энергообеспечения. Рассмотренный тип реакции желудочка соответствует, по нашим представлениям, II стадии скрытой сердечной недостаточности.

Для четвертого типа реакции (20—21 ч) были характерны сохра-

нение высокого КВ, снижение показателей систолического давления $+dp/dt_{max}$ по чистильный прирост. Накопленные в настине сократительной определяется содержанием креатинфосфориназы, что при определенном, например, нарилирования или исследований, как у ческой реакции жел рость актомиозинового жения и сокращениями тивностью миозина системы утилизации дения данной системы сердечного транспланта.

С нашей точки зрения, совершенная диастола фицитом — типичная стадия скрытой сердечной недостаточности, которая далаась через 1—2 ч ской реакции.

Таким образом, имеющихся проб с выраженной скрытой недостаточностью лежат ранние обратименная и адекватная, значительно увеличить сердечного трансплантата.

EVALUATION OF THE FUNCTIONAL STATE OF THE HEART 20-24 H AFTER BIOLOGICAL CONSERVATION

E. F. Barinov

Biological conservation of experiments on dogs. The function of the heart was evaluated from results of loading tests and the presence of reversible disorders of the heart for the first time.

A. M. Gorky Medical Institute of Public Health,

1. Баринов Э. Ф. Биологические консервации ... д-ра мед. наук. Дис. ... д-ра мед. наук. М., 1982.
2. Капелько В. И. Роль при различной патологии сердца в развитии скрытой сердечной недостаточности // Кровообращение. 1982. № 1. С. 99—104.
3. Лубяко А. А. Киррат и генезу нарушений, разделяемых в сердце // Кровообращение. 1978. № 4. С. 344—345.
4. Меерсон Ф. З. Адаптация сердца к гипоксии // Кровообращение. 1978. № 4. С. 344—345.
5. Мухарлямов Н. М. Роль компенсации в развитии скрытой сердечной недостаточности // Кровообращение. 1982. № 1. С. 99—104.
6. Панков В. С., Фролова Е. В. Стадии скрытой сердечной недостаточности // Кровообращение. 1982. № 1. С. 99—104.
7. Портной В. Ф., Мачульский А. А. Стадии скрытой сердечной недостаточности // Кровообращение. 1982. № 1. С. 99—104.

Физиол. журн.—1988.—34, № 2

составляла $(22,6 \pm 0,5)$ ч. Для при проведении трех стандартных ого желудочка, но без стимуля- биологической консервации не

ности и расслабления миокарда группе, практически не отличались функциональной пробы с выявлено четыре основных типа реакции, регистрируемой через момент восстановления составляли зки левого желудочка систолическое возрастали на $(60,5 \pm 1,0)$ течение показателей $+dp/dt_{max}$ и 53 ± 5) и (168 ± 1) % по сравнению с преднагрузкой правого м КДД в 2,7 раза. Наиболее ала на показатели $+dp/dt_{max}$ возрастали на 67 ± 1 и $(64,0 \pm$

ции, наблюдаемый через 12—18 часов с увеличением дефицита энергии и в сравнению с первым типом; и изменялись аналогично. Изменение продолжительности замирания и соответственно снижение тонуса сердца [5]. Наблюдалось после каждого показателя по сравнению с исходным сохранении характера изменений, по-видимому, свидетельствующими о снижении мощности систем энергообеспечения. Рассматривая второй тип гемодинамической реакции I стадии скрытой сердечной недостаточности, мы можем отметить, что при отсутствии тенденции к нарастанию (адекватной) реакции на постнагрузку.

ции, который регистрировали альнейшим повышением дефицита, а также снижением (по ческой реакции) прироста по-е и, особенно, расслабление шую пробу. Так, при увелич-
ватель $+dp/dt_{\text{max}}$ возрастал логично изменялись эти пока-
правого желудочка на 33,3 и
бя внимание, что в условиях
а (т. е. при одном и том же
-диастолическое давление по-
зации, что указывает на сни-
ка. Факт преимущественного
с сокращением) или даже
я, без изменения насосной
аточности установлен в экспе-
детально проанализирован в
ой этого считается большая
к нарушению энергообеспече-
очка соответствует, по нашим

ной недостаточности.
1 ч) были характерны сохра-

нение высокого КВ, значительное повышение энергодефицита сердца, снижение показателей сократительной функции сердца (развиваемого систолического давления по сравнению с 1—3 типами реакции и показателя $+dp/dt_{max}$ по сравнению с его значениями до нагрузки), незначительный прирост $-dp/dt_{max}$, резкое увеличение КДД в желудочках. Накопленные в настоящее время данные свидетельствуют, что снижение сократительной функции миокарда при сердечной недостаточности определяется содержанием креатинина, креатинфосфата, состоянием креатинфосфокиназной системы клетки [8]. Однако это вовсе не означает, что при определенных условиях не может параллельно возникнуть, например, нарушение митохондриального окислительного фосфорилирования или снижение активности АТФазы миозина. В наших исследованиях, как уже указывалось, при четвертом типе гемодинамической реакции желудочка снижалась $+dp/dt_{max}$. Учитывая, что скорость актомиозинового взаимодействия, и тем самым, скорость напряжения и сокращения сердечной мышцы лимитируется АТФазной активностью миозина миофибрилл, которая характеризует мощность системы утилизации энергии [4], мы допускаем возможность повреждения данной системы при возникновении скрытой недостаточности сердечного трансплантата.

С нашей точки зрения, снижение контракtilности миокарда, несовершенная диастола в сочетании с выраженным энергетическим дефицитом — типичная реакция желудочки в ответ на нагрузку при III стадии скрытой сердечной недостаточности. Остановка сердца наблюдалась через 1—2 ч после выявления четвертого типа гемодинамической реакции.

Таким образом, разработанный метод проведения регулярно повторяющихся проб с нагрузкой желудочков позволяет выявить степень выраженности скрытой сердечной недостаточности, в основе которой лежат ранние обратимые нарушения метаболизма миокарда. Своевременная и адекватная их фармакологическая коррекция позволит значительно увеличить сохранение функциональной полноценности сердечного трансплантата.

EVALUATION OF THE FUNCTIONAL STATE OF THE HEART TRANSPLANT 20-24 H AFTER BIOLOGICAL CONSERVATION

E. E. Barinov

Biological conservation of the functioning heart-lung preparation has been done in experiments on dogs. The functional full value of the conserved transplant was evaluated from results of loading tests. The dynamics of occult cardiac insufficiency, with early reversal disorders of the myocardium metabolism underlying it, is discussed for the first time.

A. M. Gorky Medical Institute,
Ministry of Public Health, Ukrainian SSR, Donetsk

1. Баринов Э. Ф. Биологическая консервация сердечно-легочного препарата: Автореф. дис. ... д-ра мед. наук.— М., 1984.— 34 с.
 2. Капелько В. И. Роль процесса расслабления в нарушении сократительной функции при различной патологии сердца // Бюл. ВКНЦ / Всесоюз. кардиол. науч. центра.— 1982.— № 1.— С. 99—107.
 3. Лубяко А. А., Кирпатовский В. И., Данилов М. А., Кулмагамбетов И. К. К патогенезу нарушений, развивающихся при сохранении сердца в сердечно-легочном препарате // Кровообращение.— 1980.— № 3.— С. 35—42.
 4. Меерсон Ф. З. Адаптация, деадаптация и недостаточность сердца.— М.: Медицина, 1978.— 344 с.
 5. Мухарялов Н. М. Ранние стадии недостаточности кровообращения и механизмы ее компенсации.— М.: Медицина, 1978.— 248 с.
 6. Пауков В. С., Фролов В. А. Элементы теории патологии сердца.— М.: Медицина, 1982.— 272 с.
 7. Портной В. Ф., Мачулин А. В., Дворцин Г. Ф. Усовершенствованная методика перфузии и функциональной нагрузки изолированного сердца: Исследования в контроле и после кардиотоники // Кардиология.— 1982.— № 1.— С. 94—97.